



<p>Nr ew. 35007306</p>	<p>DOKUMENTACJA FOTOGRAFICZNA</p> <p>z dnia 11.03.2020</p>	<p>Karta nr 1.1</p>
		
<p>Fot. 1 Widok na obiekt z boku. Widok od strony wschodniej na nitkę w stronę Gliwic.</p>		
		
<p>Fot. 2 Widok na nawierzchnię obiektu w stronę Gliwic.</p>		

<p>Nr ew. 35007306</p>	<p>DOKUMENTACJA FOTOGRAFICZNA</p> <p>z dnia 11.03.2020</p>	<p>Karta nr 1.2</p>
		
<p>Fot. 3 Widok na spód ustroju nosnego. Widoczne kable spreżenia zewnętrznego.</p>		
		
<p>Fot. 4 Widok na obiekt od strony Gliwic.</p>		

<p>Nr ew. 35007306</p>	<p>DOKUMENTACJA FOTOGRAFICZNA</p> <p>z dnia 11.03.2020</p>	<p>Karta nr 1.3</p>
		
<p>Fot. 5 Widok na wjazd na obiekt na nitkę w kierunku Gliwic.</p>		
		
<p>Fot. 6 Widok na nitkę jezdni od strony Ostrawy.</p>		

JNI: 35007306

DOKUMENTACJA USZKODZEŃ

Karta nr 2.1



z dnia 11.03.2020 i 14.07.2020



Fot. 1 Widok na przeponę pomiędzy obiektem głównym a estakadą. Widoczne rysy ukośne na przeponie.



Fot. 2 Pomiar rozwartości rys na przeponie od strony zewnętrznej (0,2 mm).

JNi: 35007306	<p style="text-align: center;">DOKUMENTACJA USZKODZEŃ</p> <p style="text-align: center;">z dnia 11.03.2020 i 14.07.2020</p>	Karta nr 2.2
		
<p>Fot. 3 Widok na przeponę. Widoczne rysy ukośne.</p>		
		
<p>Fot. 4 Widok na podporę w osi B. Widoczne zawilgocenia gruntu świadczące o nieszczelności kolektora odwodnienia.</p>		

JNI: 35007306

DOKUMENTACJA USZKODZEŃ

Karta nr 2.3

z dnia 11.03.2020 i 14.07.2020



Fot. 5 Widok na pomiar rys ukośnych na przeponie.



Fot. 6 Widok na rysę ukośną na przeponie. Rysa 0,3 mm.

JNI: 35007306

DOKUMENTACJA USZKODZEŃ

Karta nr 2.4

z dnia 11.03.2020 i 14.07.2020



Fot. 7 Pomiar rysy ukosnej na przeponie 0,3 mm.



Fot. 8 Pomiar otuliny na przeponie.

JNI: 35007306

DOKUMENTACJA USZKODZEŃ

Karta nr 2.5

z dnia 11.03.2020 i 14.07.2020



Fot. 9 Pomiar otuliny na stopce przepony.



Fot. 10 Pomiar rysy ukośnej na przeponie 0,2 mm.

JNI: 35007306

DOKUMENTACJA USZKODZEŃ

Karta nr 2.6

z dnia 11.03.2020 i 14.07.2020



Fot. 11 Widok na pomiar grubości otulenia na przeponie od strony wewnętrznej. Widoczne zarysowania ukośne przepony.



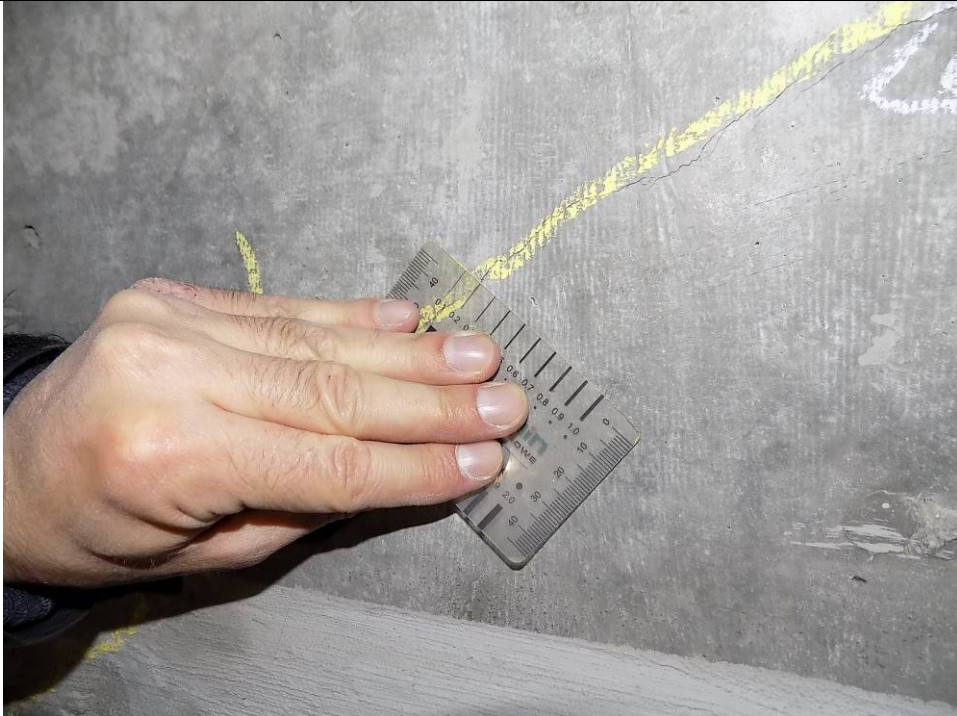
Fot. 12 Pomiar zarysowania na przeponie od strony wewnętrznej.

JNI: 35007306

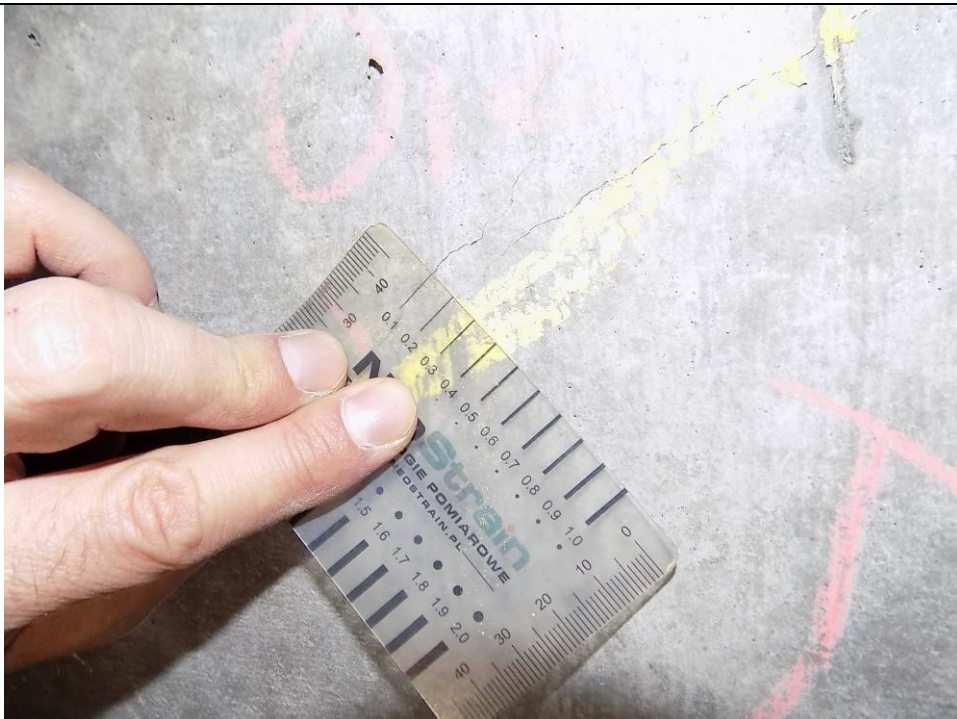
DOKUMENTACJA USZKODZEŃ

Karta nr 2.7

z dnia 11.03.2020 i 14.07.2020



Fot. 13 Pomiar rysy ukośnej na przeponie 0,2 mm.



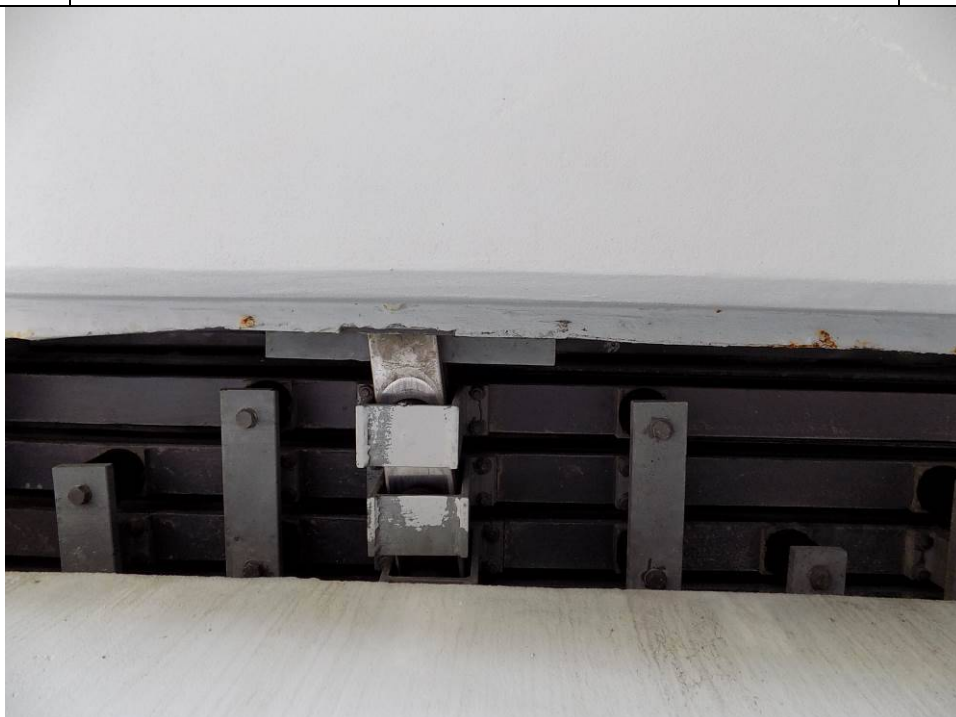
Fot. 14 Pomiar rysy ukośnej na przeponie 0,1 mm.

JNI: 35007306

DOKUMENTACJA USZKODZEŃ

Karta nr 2.8

z dnia 11.03.2020 i 14.07.2020



Fot. 15 Widok od spodu na dylatację modułową na przyczółku od strony Ostrawy. Nieprawidłowe ustawienie elementu stalowego spowodowanego brakiem swobodnego przesuwu.



Fot. 16 Widok na łożysko. Widoczne drobne ogniska korozji stali. Zjawisko występujące na każdym łożysku.

JNI: 35007306

DOKUMENTACJA USZKODZEŃ

Karta nr 2.9

z dnia 11.03.2020 i 14.07.2020



Fot. 17 Widok na dylatację modułową na przyczółku od strony Gliwic. Widoczne zanieczyszczenia dylatacji, ogniska korozji.



Fot. 18 Widok na przeponę od strony wewnętrznej. Widoczne rysy ukośne na przeponie.

JNi: 35007306	<p style="text-align: center;">DOKUMENTACJA USZKODZEŃ</p> <p style="text-align: center;">z dnia 11.03.2020 i 14.07.2020</p>	Karta nr 2.10
		
<p>Fot. 19 Widok na dylatację modułową na przyczółku od strony Ostrawy. Ogniska korozji. Nieregularne przemieszczenia modułów stalowych.</p>		
		
<p>Fot. 20 Widok na nawierzchnię chodnika. Zarysowania skurczowe kap chodnikowych. Rdzawe zacieki w rejonie słupków balustrad.</p>		

JNI: 35007306

DOKUMENTACJA USZKODZEŃ

Karta nr 2.11



z dnia 11.03.2020 i 14.07.2020



Fot. 21 Widok na pylon. Zacieki i wykwyty na pylonie.



Fot. 22 Widok na dylatację na przyczółku od strony Ostrawy. Nitka w kierunku Gliwic. Widoczne zanieczyszczenia dylatacji. Korozja elementów stalowych.

JNi: 35007306	<p style="text-align: center;">DOKUMENTACJA USZKODZEŃ</p> <p style="text-align: center;">z dnia 11.03.2020 i 14.07.2020</p>	Karta nr 2.12
		
Fot. 23 Widok na dylatację na przyczółku od strony Ostrawy. Nitka w kierunku Ostrawy. Wykwity na styku nawierzchni i dylatacji..		
		
Fot. 24 Widok na dylatację na przyczółku od strony Ostrawy. Nitka w kierunku Ostrawy. Wykwity na styku nawierzchni i dylatacji. Korozja elementów stalowych.		

JNI: 35007306

DOKUMENTACJA USZKODZEŃ

Karta nr 2.13

z dnia 11.03.2020 i 14.07.2020



Fot. 25 Wyływy masy bitumicznej w rejonie przejścia wanty przez kapę chodnikową.



Fot. 26 Widok na pylon w rejonie podłączenia want. Rdzaw zacieki.

JNI: 35007306

DOKUMENTACJA USZKODZEŃ

Karta nr 2.14

z dnia 11.03.2020 i 14.07.2020



Fot. 27 Nitka w kierunku Ostrawy. Widoczne zanieczyszczenia nawierzchni w rejonie pasa awaryjnego.



Fot. 28 Widok na kape chodnikową w rejonie podłączenia want. Widoczne zarysowania kapy.

JNI: 35007306

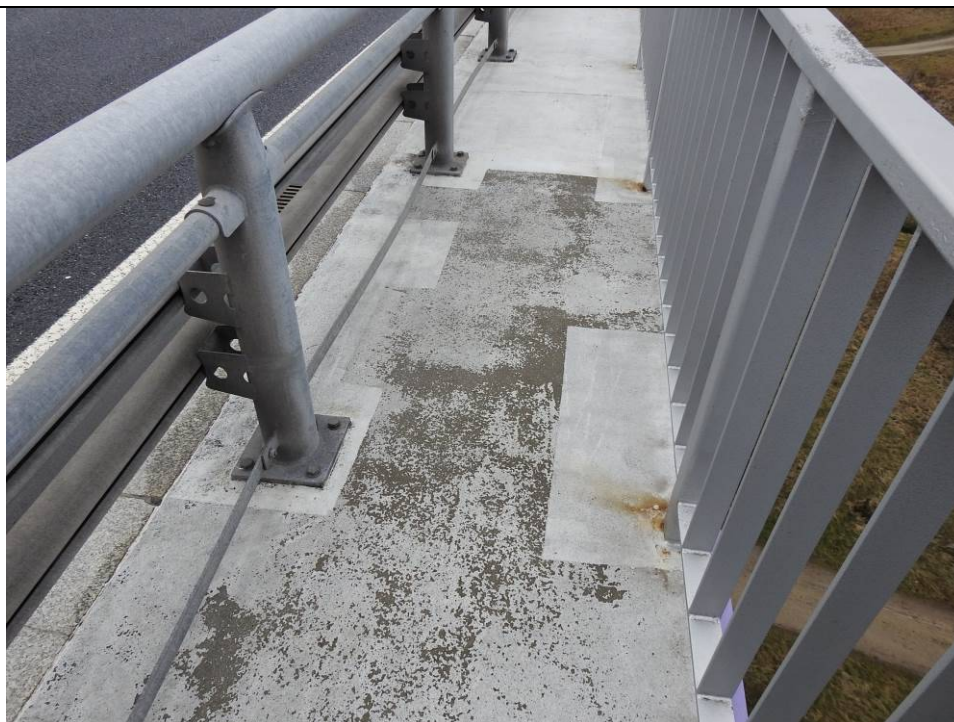
DOKUMENTACJA USZKODZEŃ

Karta nr 2.15

z dnia 11.03.2020 i 14.07.2020



Fot. 29 Widok w kierunku Gliwic. Nitka w kierunku Ostrawy. Widoczne zastoiska wody w rejonie dylatacji.



Fot. 30 Widok na nawierzchnię chodnika. Złuszczenia warstwy wierzchniej nawierzchni poliuretanowo - epoksydowej. Rdzawe zacieki.

JNI: 35007306

DOKUMENTACJA USZKODZEŃ

Karta nr 2.16

z dnia 11.03.2020 i 14.07.2020



Fot. 31 Zanieczyszczenie wpustu mostowego.



Fot. 32 Zanieczyszczenie dylatacji od strony Ostrawy. Korozja elementów stalowych dylatacji.

JNI: 35007306

DOKUMENTACJA USZKODZEŃ

Karta nr 2.17

z dnia 11.03.2020 i 14.07.2020



Fot. 33 Złuszczenia powłok malarskich konstrukcji wsporczej na podporze pośredniej. Uszkodzenie występuje na większości pomostów roboczych.



Fot. 34 Widok na łożysko nr 3. Wysunięcie się warstwy teflonu z łożyska ułożonego pomiędzy prowadnicą boczną a płytą dolną łożyska.